

05.4;07

©1993

# ЭНЕРГЕТИЧЕСКИЕ ПОТОКИ ПРИ ИНТЕРФЕРЕНЦИОННОМ ТУННЕЛИРОВАНИИ МЕТАЛЛИЧЕСКИХ ПЛЕНОК

*С.А.Афанасьев, В.В.Ефимов, Д.И.Семенцов*

В [1,2] при изучении особенностей туннельной интерференции, имеющей место в случае нормального падения на поглощающий слой двух встречных когерентных электромагнитных волн, основное внимание было уделено интерференционному потоку и его зависимости от параметров системы. Между тем, с точки зрения управления энергетическими параметрами волны, проходящей через тонкую металлическую пленку, основной интерес представляет полный энергетический поток, включающий, наряду с интерференционным, падающий, отраженный потоки одной волны и проходящий через поток другой волны. В настоящей работе получены выражения для полного потока внутри и вне поглощающего слоя и исследуется его зависимость от толщины слоя и разности начальных фаз падающих волн.

Пусть на плоскопараллельный слой ( $0 \leq y \leq L$ ) с комплексным показателем преломления  $n^* = n_1 + i n_2$  из вакуума с противоположных сторон падают нормально линейнополяризованные когерентные волны с частотой  $\omega$ , амплитудами  $A$  и  $B$  и начальными фазами  $\varphi_a$  и  $\varphi_b$ . Решая граничную задачу и находя электрическое и магнитное поля внутри и вне слоя, запишем выражения для усредненных по периоду полных потоков в областях I ( $y < 0$ ) и III ( $y > L$ ):

$$\langle S_I \rangle = \frac{c}{8\pi} \left( B^2 - |r|^2 \cdot B^2 - |t|^2 \cdot A^2 - 2I_I \cdot A \cdot B \right),$$

$$\langle S_{III} \rangle = -\frac{c}{8\pi} \left( A^2 - |r|^2 \cdot A^2 - |t|^2 \cdot B^2 - 2I_{III} \cdot A \cdot B \right). \quad (1)$$

Здесь амплитудные коэффициенты отражения и прохождения

$$r = (2i/G)(\alpha^2 - 1) \sin kL, \quad t = 4\alpha/G,$$

$$G = (1 + \alpha)^2 \exp(ikL) - (1 - \alpha)^2 \exp(-ikL),$$

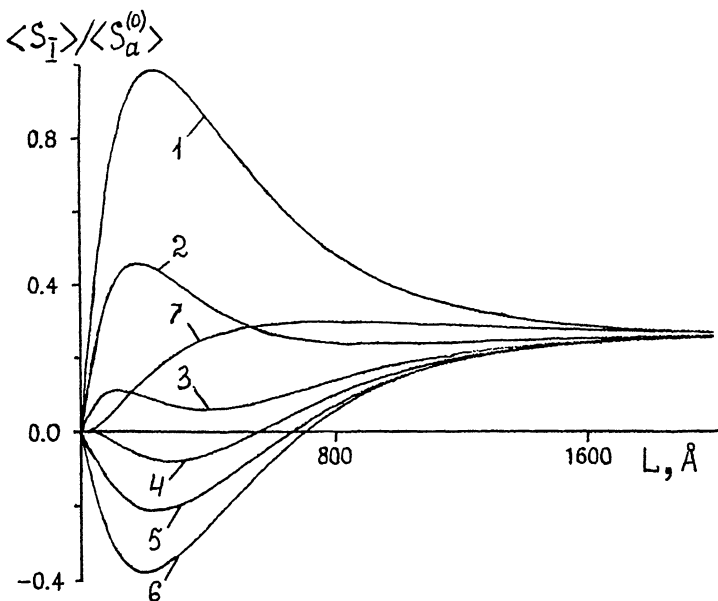


Рис. 1. Зависимость нормированного полного потока в области I от толщины слоя при  $A = B$ .

1 —  $\Delta\varphi_{ab} = -\pi/2$ , 2 — 0, 3 —  $\pi/6$ , 4 —  $\pi/4$ , 5 —  $\pi/3$ , 6 —  $\pi/2$ , 7 —  $\pi$ .

где  $\alpha = 1/n^*$ ,  $k = k_0 n^*$ ,  $k_0 = \omega/c$ ,  $c$  — скорость света в вакууме.

Коэффициенты интерференционной прозрачности

$$I_I = (r_1 t_1 + r_2 t_2) \cos \delta + (r_1 t_2 - r_2 t_1) \sin \delta,$$

$$I_{III} = (r_1 t_1 + r_2 t_2) \cos \delta - (r_1 t_2 - r_2 t_1) \sin \delta,$$

где  $r_1 + ir_2 = r$ ,  $t_1 + it_2 = t$ ,  $\delta = \varphi_a - \varphi_b - k_0 L$  — разность фаз, падающих на слой волн на его поверхностях. В случае равенства амплитуд падающих волн ( $A = B$ ) полный поток состоит только из интерференционного ( $S_{I,III}^{int}$ ) =  $\mp \frac{c}{4\pi} I_{I,III} \cdot A \cdot B$  (за исключением поглощенной части, так как  $1 - |r|^2 - |t|^2 = |d|^2$ , где  $d$  — амплитудный коэффициент поглощения).

Ниже представлены расчетные зависимости интерференционного и полного потоков, полученные для слоев с параметрами  $n_1 = 0.62$  и  $n_2 = 2.57$  (меди для длины волны  $\lambda = 0.589$  мкм [3]). На рис. 1 приведены зависимости полного потока, нормированного на величину потока падающей волны с амплитудой  $A$  ( $S_a^{(0)}$ ), в области I от толщины слоя, полученные для равных амплитуд падающих волн и нескольких значений разности фаз  $\Delta\varphi_{ab} = \varphi_a - \varphi_b$ . Из приведенных

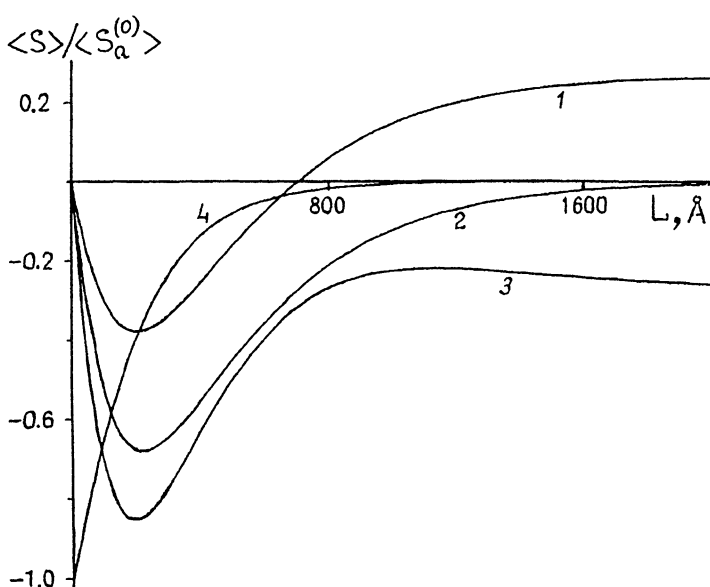


Рис. 2. Зависимости нормированных потоков  $\langle S_I \rangle$  (1),  $\langle S_I^{int} \rangle$  (2),  $\langle S_{III} \rangle$  (3),  $\langle S_a^{(t)} \rangle$  (4), от толщины слоя при  $A = B$  и  $\Delta\varphi_{ab} = \pi/2$ .

кривых видно, что в зависимости от значения  $\Delta\varphi_{ab}$  полный поток может менять знак, а может быть и знакопостоянным при изменении  $L$ . При достаточно больших толщинах слоев ( $k_0 n_2 L \gg 1$ ) полный поток стремится к постоянному значению, определяемому балансом падающего и отраженного потоков для массивного поглощающего материала.

На рис. 2 приведена зависимость от  $L$  нормированных полных потоков в областях I (кривая 1) и III (кривая 3), интерференционного потока в области I (кривая 2) при  $\Delta\varphi_{ab} = \pi/2$  и  $A = B$ . Кривая 4 соответствует прошедшему через слой потоку  $\langle S_a^{(t)} \rangle$  при наличии только одной падающей на слой волны с амплитудой  $A$  (в области III). Знак потоков определяет их направление по отношению к положительному направлению оси  $y$ . При больших толщинах потоки справа и слева от слоя становятся одинаковыми и направленными к пленке. Разность  $\langle S_I \rangle - \langle S_{III} \rangle$  определяет энергию, поглощаемую слоем в единицу времени. Сравнивая кривые 2 и 4, видим, что имеется достаточно широкая область толщин, в которой проходящий поток одиночной волны достаточно мал и интерференционный поток (того же знака) значительно превышает поток  $\langle S(t)_a \rangle$ . Именно в этом заключается эффект "просветления" поглощающего слоя при наличии встречной когерентной волны.

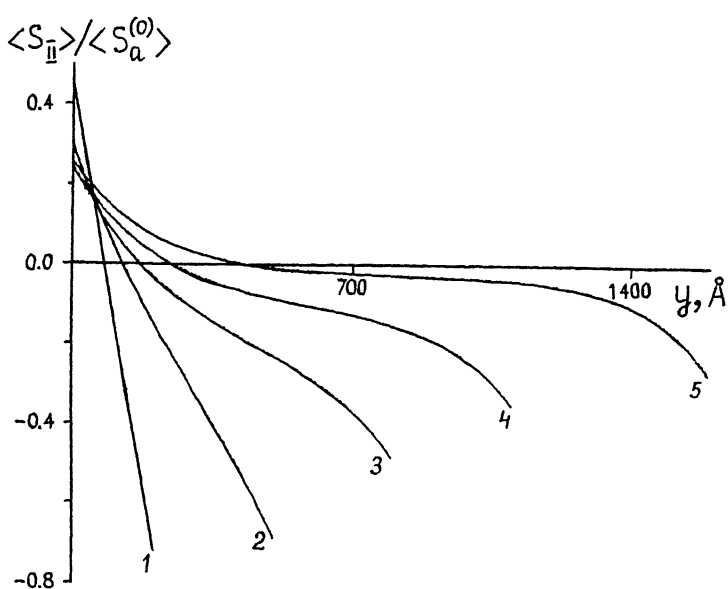


Рис. 3. Зависимость нормированного полного потока внутри слоя от координаты при  $A = B$  и  $\Delta\varphi_{ab} = 0$ .

1 —  $L = 200$ , 2 — 500, 3 — 800, 4 — 1100, 5 — 1600 Å.

На рис. 3 представлено распределение полного потока  $\langle S_{II} \rangle$  внутри слоя, полученное для равных амплитуд падающих волн и различных значений толщины слоя при  $\Delta\varphi_{ab} = 0$ . Для малых толщин ( $k_0 n_2 L \ll 1$ ) зависимость  $\langle S_{II}(y) \rangle$  близка к линейной, увеличение толщины слоя приводит к нелинейности указанной зависимости и уменьшению интервала значений потока  $\langle S_{II} \rangle$ . Внутри слоя поток электромагнитной энергии направлен к сечению, в котором  $\langle S_{II} \rangle = 0$ . Закон сохранения энергии требует наличия в слое теплового потока от указанного сечения к поверхностям слоя.

В заключение укажем, что в эксперименте эффект туннельной интерференции удобно исследовать при наклонном падении пучков на слой, позволяющем пространственно разделить интерферирующие и падающий пучки.

## Список литературы

- [1] Сидоренков В.В., Толмачев В.В. // Письма в ЖТФ. 1989. Т. 15. В. 21. С. 34–37; 1990. Т. 16. В. 3. С. 20–25.
- [2] Семенцов Д.И., Ефимов В.В., Афанасьев С.А. // Письма в ЖТФ. 1993. Т. 19. В. 11. С. 6–11.
- [3] Борн М., Вольф Э. Основы оптики. М.: Наука, 1973. 719 с.

Филиал Московского  
государственного университета  
им. М.В.Ломоносова в Ульяновске

Поступило в Редакцию  
8 октября 1993 г.

---